

1981

hiz
4 Л74. Триплетные сателлитные полосы на дальних синих крыльях самоуширенных D-линий атомов щелочных металлов. Triplet satellite bands in the very far blue wings of the self-boadened alkali D lines. Moigne M., Veža D., Pichler G., Niemax K. «Spectral Line Shapes. Proc. 5 Int. Conf., Berlin (West), 7—11 July, 1980». Berlin; New York, 1981, 851—856 (англ.)

Обсуждается механизм образования сателлитных спектральных полос на очень далеких синих крыльях самоуширенных резонансных линий атомов щелочных металлов. Предполагается, что сателлитная структура возникает вследствие наличия максимума в разности потенциалов $C^3\Pi_g - X^3\Sigma_g^+$ образующихся при сравнительно больших плотностях димеров щелочных металлов. Приводятся рассчитанные в данном предположении положения максимумов сателлитных полос для димеров Li_2 , Na_2 , K_2 , Rb_2 и Cs_2 относительно соответствующих D -линий. Показано, что синглетная сателлитная структура, существующая для легких атомов, постепенно переходит в полосы, имеющие 3 и 5 максимумов (Rb и Cs) вследствие усиления спин-орбитального взаимодействия.

С. Ч.

спектр

№ 74

ср. 1984, 18,
нч

Л.Писько 12564 1981

Li₂

ИД145. Оценка энергии диссоциации щелочных диатомов на основе обобщенного соотношения Линдерберга. Estimation of dissociation energy of alkali diatomics using an extended Linderberg relation. Raina V., Sane K. V., Saxena R. P., Srivastava P. K. «Int. J. Quantum Chem.», 1981, 20, № 4, 807—816 (англ.)

Для молекул Li₂, Na₂, K₂, Cs₂ рассчитаны энергии диссоциации (D) на основе соотношения $D=2(1-S)\beta$, где величина интеграла перекрывания S находилась при экспериментальном межъядерном расстоянии для аналитич. волн. ф-ций валентного электрона, построенных с помощью одной из разновидностей метода квантового дефекта, а резонансный интеграл β вычислялся по обобщенной ф-ле Линдерберга $\beta=K/RdS/dR$ при $K=-2,6$. Полученные значения D удовлетворительно согласуются с экспериментальными. Проведен также прямой расчет значений β , и исследована зависимость величины K от R и от квантового дефекта. А. Ф. Шестаков

73

окт. 1982, 18, N4.

Li₂

Official 12564

1981

Do

meep. pacem

195: 156968u Estimation of dissociation energy of alkali diatomics using an extended Linderberg relation. Raina, V.; Sane, K. V.; Saxena, R. P.; Srivastava, P. K. (Univ. Delhi, Delhi, 110007 India). *Int. J. Quantum Chem.*, 1981, 20(4), 807-16 (Eng). The ground state wave function of a model potential consisting of a zero-range square well jointed to a Coulomb tail is used in a two equiv. center problem to evaluate the overlap integral (S) and the resonance integral (β). An extended Linderberg relation of the form $\beta = K/R(dS)/dR$ is generally well obeyed. The extended relation was used within a LCAO framework to obtain dissoen. energies of the homonuclear diat. mols. of the alkali atoms. The calcd. results agree with the exptl. data.

(~~74~~)

N₂, K₂, Rb₂, Cs₂



C.A. 1981, 95, N18.

Омск 12564 1981

hiz

8 Б21. Оценка энергии диссоциации двухатомных молекул щелочных металлов на основе обобщенного соотношения Линдерберга. Raina V., Sane K. V., Saxena R. P., Srivastava P. K. Estimation of dissociation energy of alkali diatomics using an extended Linderberg relation. «Int. J. Quantum Chem.», 1981, 20, № 4, 807—816 (англ.)

Do)

№ 73

Проведены оценки энергии диссоциации основных состояний двухатомных молекул щел. металлов Li_2 , Na_2 , K_2 и Cs_2 на основе модельных представлений. Молекула рассматривается как двухэлектронная система, для к-рой используется приближение ЛКАО с базисными функциями s -типа, описывающими поведение электрона в поле сферич. потенциальной ямы конечного радиуса и кулоновского потенциала вне ямы. Подобный подход позволяет выразить энергию диссоциации через обменный интеграл β и интеграл перекрывания s . Далее

Х. 1982, 19, № 8

используется обобщенное соотношение Линдерберга
 $\beta = (K/R)(dS/dR)$, где R — межъядерное расстояние, а
 K — параметр. Модель содержит подгоночный па-
метр a , имеющий смысл квантового дефекта атома и
связанный с параметром K обобщенного соотношения
Линдерберга. Рассчитанные значения энергий диссо-
циации согласуются с эксперим. данными.

А. В. Немухин

Li₂

1981

$(r_e, \theta_0, \gamma,$
kl. unk. packet)

' 95: 157042z The CNDO/BW study of lithium clusters. I.
Two-, three-, and four-atomic clusters. Skala, L. (Fac.
Math. Phys., Charles Univ., 12116 Prague, Czech.). *Phys. Status
Solidi B* 1981, 107(1), 351-7 (Eng). The CNDO/BW (Boyd
and Whitehead) method was used for a detailed study of Li₂, Li₃,
and Li₄ clusters. The equil. distances between atoms, binding
energies, ionization potentials, dipole moments, charges at atoms,
and bond orders were investigated for 14 different geometries of
the clusters. The most stable geometrical forms are found and
compared with available theor. and exptl. results.



c. A. 1981, 95, N 18.

1981

Li_2 (Кластер)

Электрон
Строение

Д

+2

Х.1982, 19, N3.

З Б53. Исследование методом ППДП/БВ кластеров Li . I. Двух-, трех- и четырехатомные кластеры. Skála L. The CNDO/BW study of lithium clusters I. Two-, three-, and four-atomic clusters. «Phys. status solidi», 1981, B 107, № 1, 351—357 (англ., рез. рус.)

Полуэмпирическим методом ППДП/БВ рассчитано электронное строение кластеров Li_2 , Li_3 и Li_4 . Равновесные структуры кластеров и их относит. стабильность определены в результате расчета 14 различных геометрич. конфигураций кластеров. Из анализа данных расчетов следует, что наиболее стабильный кластер Li_3 имеет форму неравностороннего треугольника. Геометрия наиболее стабильного кластера Li_4 соответствует параллелепипеду и может рассматриваться, как конфигурация Li_3 плюс 1 атом Li . В соответствии с эксперим. данными рассчитанный кластер Li_3 является нестабильным. Для наиболее стабильных систем получены на-

Li_3 , Li_4

ибольшие порядки связи. Наиболее стабильные кластеры имеют низкосимм. геометрич. конфигурации. Рассчитанная энергия связи Li_4 согласуется с данными др. теор. расчетов. Полученные результаты указывают на то, что крит. ядром в зародышеобразовании кластеров Li_n является Li_2 . Из проведенных расчетов следует, что наиболее стабильные кластеры Li_3 и Li_4 имеют ненулевые дипольные моменты, на основании чего сделан вывод о том, что эксперим. измерения дипольных моментов могут быть решающими для определения геометрии кластеров.

И. А. Тополь

Li₂

1981

— ТД145. Изучение кластеров лития методом ППДП/БВ. Ч. 1. Двух-, трех- и четырехатомные кластеры. The CNDO/BW study of lithium clusters. I. Two-, three-, and four-atomic clusters. Skála L. «Phys. status solidi», 1981, B107, № 1, 351—357 (англ.; рез. рус.)

Метод ППДП/БВ применяется для детального расчета кластеров Li_2 , Li_3 и Li_4 . Равновесные межатомные расстояния, энергии связи, потенциалы ионизации, дипольные моменты, заряды на атомах и порядки связей рассчитываются для 14 различных геометрий кластеров. Полученные геометрич. формы наивысшей стабильности сравниваются с доступными теоретич. и эксперим. результатами.

Резюме

(f2)

90. 1982, 18, N1.

OMMUCU 11160

1981

Li_2

Li_3

94: 90770u A successful CNDO/BW parametrization for the calculation of lithium clusters. Skala, L. (Fac. Math. Phys., Charles Univ., 12116 Prague, 2 Czech.). *Phys. Status Solidi B* 1981, 103(1), K27-K29 (Eng). The bond length (R), bond energy, and ionization potential (IP) of Li_2 , and the equil. lattice const. (effective R value corresponding to the min. in the total energy), the binding energy, and IP of the at. cluster Li_3 were calcd., in good agreement with existing exptl. data, by using the CNDO/BW method (CNDO with Boyd-Whitehead parametrization).

icb. uex.
haecker
(δ_e , r_e , T)

+1

☒



C.A. 1001.94 N12

Liz

Lowmuck 12083 | 1981.

Sikala L.

Kb. Mex.
paeter,
mol. zool.,
y; μ , μ

Phys. Status Solidi,
1981, B107, 351-54

L. L. Dix
Lommick 16302, 1981

creeps
растягиваются
flexually,
flexually,
guccolous.
Reprinted
from Pro-
ceedings of the Internatio-
nal Conference on La-
ser 81, December 14-18,

Stvalley N.C., Verma K.K.,
Rajaei-Rizi A, et al.,
1981

оттиск 12228

1981

Li₂

спектр
метицесол.

1Д322. Модельные расчеты индуцированных магнитным полем возмущений и предиссоциации $^6\text{Li}^7\text{Li}$ вблизи диссоциационного предела. Model calculations of magnetic-field-induced perturbations and predissociations in $^6\text{Li}^7\text{Li}$ near dissociation. Wang Yea-Hwang, Ferrante Robert F., Swalley William C. «J. Chem. Phys.», 1981; 74, № 11, 6267—6270 (англ.)

Произведены модельные расчеты индуцированных магн. полем возмущений и предиссоциаций (резонансов в \ рассеянии) для $^6\text{Li}^7\text{Li}$ вблизи резонанса. Расщепление $^3\Sigma_u^+$ -состояния в магн. поле вызывает зависящие от поля взаимодействия, преимущественно пересечения уровней, между близко расположеннымми слабо связанными высокими колебательно-вращательными уровнями $X^1\Sigma_g^+$ и $^3\Sigma_u^+$ -состояний вблизи диссоциационного предела. Из соображений симметрии такие взаимодействия отсутствуют в гомоядерных молекулах $^7\text{Li}_2$ или $^6\text{Li}_2$. Так как экспериментально возможно наблюдать высокие колебательные уровни основного электронного состояния (до $v \leq 36$), а также предиссоци-

го. 1982, 18, n/.

ацию с этих уровней через электронное состояние $^3\Sigma_u^+$, то возможно наблюдение и предсказываемых данной теорией возмущений и предиссоциаций. В. Н. Р.



*y.
Li₂*

OPTICAL 1228

1981

95: 1310 Sc Model calculations of magnetic-field-induced perturbations and predissociations in lithium-6, -7 near dissociation. Uang, Yea-Hwang; Ferrante, Robert F.; Stwalley, William C. (Dep. Chem., Univ. Iowa, Iowa City, IA 52242 USA). *J. Chem. Phys.* 1981, 74(11), 6267-70 (Eng). A model calen. of magnetic-field-induced perturbations and predissocns. (scattering resonances) in ⁶Li⁷Li near dissoon. is presented. The splitting of the Σ_u^+ state by an external magnetic field yields field-dependent interactions (dominated by a curve crossing) between closely spaced, weakly bound high vibrational-rotational levels of the $X^1\Sigma_g^+$ and $+\Sigma_u^+$ states near dissoon. Due to the symmetry of homonuclear mols., there will be no such field-induced phenomena in the cases of ⁷Li₂ and ⁶Li₂. Since a bound-free-bound transition involving the $^3\Sigma_u^+$ state of ⁷Li₂ and high vibrational levels ($v \leq 36$) in $X^1\Sigma_g^+$ ⁶Li⁷Li and ⁷Li₂ have recently been obsd., exptl. observation of these perturbations and predissocns. should be feasible.

C. A. 1981, 95, N2.

6/7/81
6/7/81

помену.
Крикве,
Do;

ОТГУСК 12286

1981

4 Б209. Новые наблюдения и приведенный по мас-
се анализ полос системы $B'\pi_u - X'\Sigma_g^+$ в спектре флуо-
ресценции молекулы ${}^6\text{Li}{}^7\text{Li}$ возбуждаемом лазером.
Verma K. K., Koch M. E., Swalley W. C. New
observations aid mass-reduced analyses of the laser-ex-
cited fluorescence of the $B'\pi_u - X'\Sigma_g^+$ bands of the
 ${}^6\text{Li}{}^7\text{Li}$ molecule. «J. Mol. Spectrosc.», 1981, № 2,
548—559 (англ.)

Измерены спектры флуоресценции (4400—6300 Å) па-
ров лития (~99,95% ${}^7\text{Li}$) возбуждаемые Ag^+ -лазером.
Целью работы являлось исследование системы $B'\pi_u -$
 $X'\Sigma_g^+$ ${}^6\text{Li}{}^7\text{Li}$, построение потенциальных кривых и
определение энергии диссоциации основного состояния.

Положение линий измеряли относительно двух из-
вестных серий в спектре флуоресценции ${}^7\text{Li}_2$ и атомных
линий лития. Определены молекулярные постоянные
 ${}^6\text{Li}{}^7\text{Li}$, эффективные значения $G_9(v'')$, $B_2(v'')$, $U_9''(R)$
(значения при $I''=9$), $G_{19}(v'')$, $B_{19}(v'')$, $U_9''(R)$, точки
поворота потенциальной кривой основного состояния.
Построена правильная (безвращательная) потенциаль-

X. 1982, 19, N4

ная кривая состояния $X'\Sigma_g^+$. Рекомендованы след. значения энергий диссоциации молекулы Li_2 : основное состояние — $D_e = 8516 \pm 18 \text{ см}^{-1}$, состояние $A'\Sigma_u^+ - D_e = 9349 \pm 19 \text{ см}^{-1}$, состояние $B'\pi_u - D_e = 2984 \pm 19 \text{ см}^{-1}$.

В. М. Ковба

Li_2

$(\text{B}'\pi - \text{X}'\Sigma)$

(M. H.)

beig.

OMMELK 12286 1981

5: 52011k New observations and mass-reduced analyses of the laser-excited fluorescence of the $\text{B}'\Pi_u - \text{X}'\Sigma_g^+$ bands of the lithium (${}^6\text{Li}{}^7\text{Li}$) molecule. Verma, K. K.; Koch, M. E.; Swalley, W. C. (Iowa Laser Facil., Univ. Iowa, Iowa City, IA 52242 USA). *J. Mol. Spectrosc.* 1981, 87(2), 548-59 (Eng).

An Ar⁺ laser at 4579 Å was used to excite the $\text{B}'\Pi_u - \text{X}'\Sigma_g^+$ fluorescence of the ${}^6\text{Li}{}^7\text{Li}$ mol. in a crossed heat pipe oven. The spectrum at 4400-6300 Å was recorded photoelec. with an emphasis on the observation of higher vibrational levels in the ground state close to the dissociation limit. P And R doublets corresponding to $v'' \leq 26$ originating from the ($v' = 13, J' = 19$) level were obsd. and identified by using mass-reduced quantum numbers. Two addnl. ${}^6\text{Li}{}^7\text{Li}$ series, known from earlier work were also analyzed. These data were used to construct effective Rydberg-Ram-Meissner (RKR) potentials for specific $J'' (=9, 19)$ quantum numbers of the ground state and from then the true (rotationless) potential energy curve (for $\text{X}'\Sigma_g^+$) was derived. This extends the previously known curve of Li₂ from 4.28 to 5.18 Å (outer turning point); this turning point corresponds to an energy which is approx. 88% of the dissociation energy, which is $8516 \pm 18 \text{ cm}^{-1}$.

C.A. 1981, 95, N 6.

7/12

1981

*CNEMPS
Properties.*

' 95: 123262f Assignment of the lithium-7 dimer optically pumped laser transitions pumped by argon(1+) and krypton(1+) laser lines. Verma, K. K.; Stwalley, W. C.; Zemke, W. T. (Dep. Chem., Univ. Iowa, Iowa City, IA 52242 USA). *J. Appl. Phys.* 1981, 52(6), 3821-6 (Eng). In an attempt to det. the assignments for the wavelengths obsd. in the line tunable Li dimer laser pumped by the Kr⁺ 6471-Å laser, the corresponding fluorescence spectrum of the ⁷Li₂ mols. was examd. Unlike the Ar⁺ laser fluorescences which have previously been assigned, the Kr⁺ laser fluorescence of Li₂ has not been previously studied. The assigned fluorescence spectrum consists of 2 series of the A-X system ($v' = 9, J' = 11; v' = 12, J' = 60$) along with the line frequencies and their calcd. abs. radiative transition probabilities. The optically pumped laser lines are identified and addnl. wavelengths are listed which may lase when pumped at 6471 Å or at various Ar⁺ laser wavelengths.

C.A. 1981, 95, N 14

7/1.
Li₂

1981

3 Д1211. Отнесение переходов в лазере на ⁷Li₂ с оптической накачкой излучением Ar⁺ и Kr⁺-лазеров. Assignment of the ⁷Li₂ optically pumped laser transitions pumped by Ar⁺ and Kr⁺ laser lines. Verma K. K., Swalley W. C., Zemke W. T. «J. Appl. Phys.», 1981, 52, № 6, 3821—3826 (англ.)

В видимой и ближней ИК области спектра исследована флуоресценция димеров ⁷Li₂, возбуждаемых излучением теплового Kr⁺-лазера (6471 Å). В спектре флуоресценции выявлены две серии линий, отнесенных к переходам в Li₂(A→X) с уровнем $v'=9, J'=11$ (с высокой интенсивностью) и $v'=12, J'=60$ (с низкой интенсивностью). Эксперим. данные сопоставлены с результатами теоретич. расчетов частот линий и абр. вероятностей радиационных переходов на основе известных молекулярных констант. Идентифицированы экспериментально наблюдавшиеся лазерные переходы в Li₂ при оптич. накачке излучением ионных Ar⁺- и Kr⁺-лазеров, а также указано несколько новых переходов, на которых можно ожидать получения лазерной генерации.

С. Литке

флуоресцен.

95 1982, 18, N 3.

1981

Li₂

2 Д957. Новые наблюдения и анализ полосы $B^1\Pi_u - X^1\Sigma_g^+$ в спектре возбуждаемой лазером флуоресценции молекул ${}^6\text{Li}{}^7\text{Li}$. New observations and mass-reduced analyses of the laser-excited fluorescence of the $B^1\Pi_u - X^1\Sigma_g^+$ bands of the ${}^6\text{Li}{}^7\text{Li}$ molecule. Verma K. K., Koch M. E., Swallow W. C. «J. Mol. Spectrosc.», 1981, 87, № 2, 548—559 (англ.)

Исследован заново спектр флуоресценции $B^1\Pi_u - X^1\Sigma_g^+$ молекул ${}^6\text{Li}{}^7\text{Li}$, возбуждаемый излучением Ar⁺-лазера (4579 Å). Зарегистрированы переходы на колебательные уровни основного состояния, близкие к диссоциационному пределу (с $v' = 13$ на $v'' < 26$). Построен РКР-потенциал для основного состояния $X^1\Sigma_g^+$ молекулы Li₂ в области межъядерных расстояний до $r = 5,18$ Å. Оценена энергия диссоциации Li₂(x), $D_c = (8516 \pm 18) \text{ см}^{-1}$. Библ. 17.

В. С. Иванов

Спектр,
м.н.

ф. 1982, 18, № 2.

1981

Li₂

10 Б21. Замечание о дипольном моменте переходов димеров щелочных металлов. Woerdman J. P. A note on the transition dipole moment of alkali dimers. «J. Chem. Phys.», 1981, 75, № 11, 5577—5578 (англ.)

Для переходов $X^1\Sigma_g^+ \rightarrow A^1\Sigma_u^+$ и $X^1\Sigma_g^+ \rightarrow B^1\Pi_u$ молекул Li_2 и Na_2 зависимость дипольного момента перехода $D(R)$ от межъядерного расстояния R качественно объяснена зависимостью от R частоты перехода $\nu(R)$ для потенциальных кривых соотв-щих состояний: $D(R) \sim \nu(R)^{-1/2}$. Предсказаны $D(R)$ переходов $X \rightarrow A$ и $X \rightarrow B$ для молекулы K_2 .

Н. Ф. Степанов

(A)



X. 1982, 19, N10.

Lid

1981

5 Д97. Замечание о дипольном моменте перехода в щелочных димерах. A note on the transition dipole moment of alkali dimers. Woerdman J. P. «J. Chem. Phys.», 1981, 75, № 11, 5577—5578 (англ.)

Для молекул Li_2 , Na_2 , K_2 проведен расчет дипольных моментов переходов $X \rightarrow B$ и $X \rightarrow A$ в предположении, что силы осцилляторов f для этих переходов находятся в постоянном отношении к атомному значению f . Полученные результаты находятся в хорошем соответствии с данными неэмпирич. вычислений.

А. Ф. Шестаков

(f2)

☒



окт 1982, 18, N5.

1981

Li₂

$\nu(R)$;

1981: 11847q A note on the transition dipole moment of alkali dimers. Woerdman, J. P. (Philips Res. Lab., 5600 MD Eindhoven, Neth.). *J. Chem. Phys.* 1981, 75(11), 5577-8 (Eng). For Li₂ and Na₂, the variations, as a function of the internuclear distance (R), of the dipole moments [$D(R)$] of the dimer $X \rightarrow A$ and $X \rightarrow B$ electronic transitions were quant. described by the R dependences of the dimer transition frequencies [$\nu(R)$]. The calcns. were done by using the postulated new relations between the dimer oscillator strengths (f) and the at. oscillator strengths (F), and assuming F to be

const. The relations were used to calc. $D(R)$ for K₂. The relations between f and F led to the correlation $D^2(R) \times \nu(R) \approx$ const.

t2

Na₂, K₂

C.A. 1982, 96, N2.

1982

li₂

5 Д134. Расчет ряда характеристик кластера Li₃ методом конфигурационного взаимодействия. MRD CI calculations of some properties of the Li₃ cluster. Beckmann Hans-Ottmar. «Chem. Phys. Lett.», 1982, 93, № 3, 240—242 (англ.)

Неэмпирическим методом ССП МО ЛКАО с учетом конфигурационного взаимодействия (отбор конфигураций по спец. схеме) в большом базисе гауссовых орбиталей исследовано электронное строение Li₂ (I) и Li₃ (II). Подробно проанализировано влияние учета корреляционных эффектов на результаты расчетов. Энергия связи в расчете на один атом для II оценена в 9,66 ккал/моль (что существенно ниже эксперим. значения $13,8 \pm 1,3$), причем эта величина для I лишь ненамного больше (10,17, эксперим. значение 12,33). Энергия диссоциации II на I и атом Li оценена в 8,6 ккал/моль. Потенциалы ионизации I и II согласуются с эксперим. значениями с точностью до ошибок эксперимента. Рассчитаны энергии 8 низших возбуждений для II, которые оказались значительно более низкими, чем у I и Li₄.

В. Л. Лебедев

расчет, E, J, do,

li₃ (H)

90/1983, 18,
IV 5

1982

Li₂

9 Б48. Расчеты свойств кластера Li_3 методом конфигурационного взаимодействия [двухкратных] возбуждений нескольких исходных конфигураций. MRD CI calculations of some properties of the Li_3 cluster. Beckmann Hans-Ottmar. «Chem. Phys. Lett.», 1982, 93, № 3, 240—242 (англ.)

Методом конфигурац. взаимодействия с построением одно- и двухкратных возбуждений по отношению к выделенному набору нескольких исходных конфигураций (КВ ДВ НИК) по программам Бюнкера и Пейеримхоф рассчитаны энергии кластера Li_3 в состоянии 2B_2 . Для равновесной геометрич. конфигурации определены полная энергия, энергия связи, приходящаяся на атом, энергия ионизации и энергии возбуждения в восемь низших электронных состояний. Отмечено, что энергия связи и потенциал ионизации несколько меньше соотв-щих эксперим. значений. Использование корреляц. поправки Давидсона приближает теор. величины к экспериментальным. Проведено сравнение св-в в ряду Li_2 , Li_3 , Li_4 .

А. В. Немухин

(72) 18

X. 1983, 19, N 9

${}^7\text{Li}_2$

Omnilex 13692

1982

$(E^1\Sigma_u^+)$

196: 76699n A study of the $E^1\Sigma_g^+$ state of dimeric lithium-7 by pulsed optical-optical double resonance spectroscopy. Bernheim, R. A.; Gold, L. P.; Kelly, P. B.; Tipton, T.; Veirs, D. K. (Dep. Chem., Pennsylvania State Univ., University Park, PA 16802 USA). *J. Chem. Phys.* 1982, 76(1), 57-60 (Eng). The results of pulsed optical-optical double resonance spectroscopic studies of the $E^1\Sigma_g^+$ state of ${}^7\text{Li}_2$ are presented. Observations were carried out on the $v = 0$ through $v = 12$ levels. A set of Dunham mol. consts. was derived and an Rydberg-Klein-Rees potential was generated. Franck-Condon factors for transitions to the $A^1\Sigma_u^+$ state were detd. for the range obsd. vibrational levels. An apparent deviation from the expected dissociation energy is obsd. consistent with the suggestion that a double min. exists for this state.

C. A. 1982, 96, N10

Li₂ Отиск 13692 · 1982

7 Д427. Исследование состояния ${}^7\text{Li}_2(E^1\Sigma_g^+)$ методом импульсной оптически-оптической спектроскопии двойного резонанса. A study of the $E^1\Sigma_g^+$ state of ${}^7\text{Li}_2$ by pulsed optical-optical double resonance spectroscopy. Bergheim R. A., Gold L. P., Kelly P. B., Tipton T., Veirs D. K. «J. Chem. Phys.», 1982, 76, № 1, 57—60 (англ.)

ll. n.
Исследована вращательная структура уровней $v = 0 \div 12$ состояния ${}^7\text{Li}_2(E)$. Определены коэф. Данхема и построена потенц. кривая RKR. Рассчитаны коэф. Франка—Кондоа для переходов в состояние $A^1\Sigma_u^+$. Полученные результаты не согласуются с известным значением энергии диссоциации для состояния $A^1\Sigma_u^+$. Это кажущееся несоответствие свидетельствует, по мнению авторов, о наличии двух минимумов на потенц. кривой состояния $E^1\Sigma_g^+$. Библ. 15.

оф. 1982, 18, № 4.

Li₂

Отмеч 13692

1982

14 Б133. Изучение состояния $E^1\Sigma_g^+$, ${}^7\text{Li}_2$ методом спектроскопии импульсного оптико-оптического двойного резонанса. Bergheim R. A., Gold L. P., Kelly P. B., Tipton T., Veirs D. K. A study of the $E^1\Sigma_g^+$ state of ${}^7\text{Li}_2$ by pulsed optical-optical double resonance spectroscopy. «J. Chem. Phys.», 1982, 76, № 1, 57—60 (англ.)

Методом двойного оптич. резонанса [$E^1\Sigma_g^+(v=0-12) \leftarrow A^1\Sigma_u^+ \leftarrow X^1\Sigma_g^+$] исследовано состояние $E^1\Sigma_g^+$, ${}^7\text{Li}_2$. Для него получен набор коэф. Дэихема Y_{nh} ($n=0-5$, $k=0-2$), значения $G(v)$; B_v поворотные точки РКР потенциальной кривой. Приведены кривые потенциальной энергии Li_2 в состояниях $E^1\Sigma_g^+$, $F^1\Sigma_g^+$, $G^1\Pi_g$, факторы Франка—Кондона для системы $E^1\Sigma_g^+(v=0-12) \leftarrow A^1\Sigma_u^+(v=0-20)$, ${}^7\text{Li}_2$ ($I=0$)

Б. М. Ковба

Х. 1982, 19, N/4.

диз
диз

Оп. 15056

1982

5 Б172: — Ридберговские состояния Li_2 и молекулярные постоянные Li^{2+} . Rydberg states of Li_2 and molecular constants of Li_2^+ . Bernheim R.A., Gold L.P., Tipton T. «Chem. Phys. Lett.», 1982, 92, № 1, 13—15 (англ.)

Методом импульсного двойного оптического резонанса исследованы рибберговские серии возбужденных электронных состояний молекулы ${}^7\text{Li}_2$. Наблюдали 29 ридберговских состояний четной симметрии, в том числе 13 членов серии $nd\pi^1\Pi_g$ ($n=3—15$) и 16 — серий $nd\sigma^1\Sigma_g^+$ и $ns\sigma^1\Sigma_g^+$. Для компонент Π^- -состояний первой серии приведены знаечния T_0 , T_e , ω_e , ω_{ex_e} , B_e , a_e , D_e и др. В случае состояний $9d\Pi^1\Pi_g^-$ и $10d\pi^1\Pi_g^-$ наблюдали взаимные колебательные возмущения (для этих состояний приведены также указанные выше молек. постоянные, исправленные с учетом возмущений). Методом экстраполяции оценены молек. постоянные ${}^7\text{Li}_2^+ (X^2\Sigma_g^+)$ (в см^{-1}): $\omega_e = 262 \pm 2$, $\omega_{ex_e} = 1,6 \pm 0,5$, $B_e = 0,496 \pm 0,002$, $a_e = (5,2 \pm 1,4) \cdot 10^{-3}$, $D_e = 10463 \pm 23$. Значения ω_e , ω_{ex_e} и D_e согласуются с результатами неэмпирических расчетов.

В. М. Ковба

Li_2^+

(11)

X. 1983, 19, N5

~~did~~, ~~did~~ Om. 15056 1982

2Д470. Ридберговские состояния Li_2 и молекулярные постоянные Li_2^+ . Rydberg states of Li_2 and molecular constants of Li_2^+ . Bernheim R. A., Gold L. P., Tipton T. «Chem. Phys. Lett.», 1982, 92, № 1, 13—15 (англ.)

С использованием техники двойного импульсного оптически-оптич. резонанса исследованы ридберговские состояния $nd\pi^1\Pi_g$ ($n=3—15$) молекулы ${}^7\text{Li}_2$. Измерения проведены с помощью двух лазеров, один из которых работал на резонансной частоте электронного перехода $X^1\Sigma_g^+ \rightarrow A^1\Sigma_u^+$, а частота второго перестраивалась в диапазоне 530—370 нм. Определены: потенциал ионизации ${}^7\text{Li}_2$ ($41\,496 \pm 4 \text{ см}^{-1}$) и молекулярные постоянные состояния $X^1\Sigma_g^+$ иона ${}^7\text{Li}_2^+$.

А. В. Н.

④ 18

Оп. 1983, 18, № 2

● li_2^+ (и.н.)

7Li₂

1982

99: 202649y Pulsed optical-optical double resonance spectroscopy of the gerade excited states of diatomic Lithium-7. Bernheim, R. A.; Gold, L. P.; Tipton, T. (Jt. Inst. Lab. Astrophys., Univ. Colorado, Boulder, CO 80309 USA). *Proc. Int. Conf. Lasers 1981* (Pub. 1982), 193-8 (Eng). The technique of pulsed optical-optical double resonance spectroscopy is described. The results of studies on the $E^1\Sigma_g^+$, $F^1\Sigma_g^+$ and $G^1\Pi_g$ states are reviewed. The spectroscopic studies yield good descriptions of the lower 60% of the potential wells for the F and G states, and there is evidence for a double min. in the E state. A $^1\Pi_g$ Rydberg series was studied which gives a value of 41496 ± 4 cm⁻¹ for the ionization potential of $^7\text{Li}_2$ and mol. consts. of $D_e = 10463 \pm 23$ cm⁻¹, $\omega_e = 261.6$ cm⁻¹, $B_e = 0.493$ cm⁻¹, and $\omega_{ex} = 1.6$ cm⁻¹ for the $X^2\Sigma_g^+$ state of $^7\text{Li}_2^+$.

LLN.

C.A. 1983, 99, N 24

Li_2

1982

Borisov Yu. A.

Меопем.
пазем
Энергии

Chem. Phys. Lett.,
1982, 93, N 2, 197 -
- 200.

(c.c. H^- ; III)

lis

Омск 14054

1982

Борисов М.А., Ильин-
ев Д.Т.

расцвет
цветковых
растений
в
межсезонье.

Н. Сибирь кн. 1,
1982, № 1, 10-15.

отиск 13681 1982

li₂

12 Б19. Случайная предиссоциация в димере лития;
теоретическое исследование. Cooper David L.,
Hutson Jeremey M., Uzer T. Accidental predissociation
in lithium dimer: a theoretical investigation.
«Chem. Phys. Lett.», 1982, 86, № 5—6, 472—476 (англ.)

Исследована случайная предиссоциация с колебательных уровней электронного состояния $A^1\Sigma_u^+$, обусловленная смешиванием с $b^3\Pi_u$ электронным состоянием за счет спин-орбитального взаимодействия и последующим переходом на отталкивательное $a^3\Sigma_u^+$ -состояние. Расчет матричных элементов взаимодействия между электронными состояниями выполнен неэмпирически с использованием волновых функций, найденных методом ССП в базисе слейтеровских орбиталей. Обсуждены различные факторы, влияющие на время предиссоциации. Указаны энергетич. области, в к-рых наиболее вероятно обнаружить предиссоциацию экспериментально.

Б. И. Жилинский

предиссоциации.

X, 1982, 19, N 12.

Li₂

Neopemur
pacrem

Ommecck 13681

1982

96: 1494-94d Accidental predissociation in lithium dimer: theoretical investigation. Cooper, David L.; Hutson, Jeremy M.; Uzer, T. (Harvard-Smithsonian Cent. Astrophys., Cambridge, MA 02138 USA). *Chem. Phys. Lett.* 1982, 86(5-6), 472-6 (Eng). The positions of accidentally predissociated vibration-rotation levels in Li₂ were predicted by using ab-initio calcns. of coupling matrix elements together with recent potential-energy curves and exptl. results. The factors affecting predissocn. lifetimes are discussed, and the most likely regions for exptl. observable predissocns. are identified.

C.A. 1982, 96, n18

Отмск 13681 1982

Li₂

8 Д125. Теоретическое исследование случайной предиссоциации в димере лития. Accidental predissociation in lithium dimer: A theoretical investigation. Соорег David L., Hutson Іегему M., Uzeg T. «Chem. Phys. Lett.», 1982, 86, № 5—6, 472—476 (англ.)

Рассчитаны энергии и предиссоциационные времена жизни (ПВЖ) вибронных уровней электронных состояний $A^1\Sigma_u^+$ и $b^3\Pi_u$ молекул ${}^6\text{Li}_2$ и ${}^6\text{Li}{}^7\text{Li}$. Расчеты проводились на основании теоретич. данных о потенц. кривых Li_2 , исправленных в соответствии с имеющейся эксперим. информацией о квазивырождении вибронных термов. Необходимые для определения ПВЖ уровней недиагональные матричные элементы операторов спин-орбитального взаимодействия и компоненты орбитального момента вычислены на базе хартри-фоковских волн. Ф-ции указанных электронных состояний. Обсуждаются факторы, оказывающие влияние на величину ПВЖ. Предсказано положение уровней, предиссоциацию которых можно обнаружить в фотодиссоциационном эксперименте.

А. В. Зайцевский

д.н.; при-
диссоциац.

Ф. 1982, 18, N 8

1982

14 Б24. Изучение методом ППДП/2 роста модельных кластеров линия. A CNDO/2 study of the growth of model lithium clusters. Delincheshev S. P. «Докл. Болг. АН», 1982, 35, № 11, 1511—1513 (англ.)

В рамках схемы ППДП/2 проведены расчеты кластеров Li_N ($N=2-7$). Во всех исследованных кластерах расстояния между ближайшими соседями принимали фиксированными и равными 3,5089 Å (эксперим. значение межъядерного расстояния в ОЦК-решетке Li). Показано, что при $N=4-7$ наиболее стабильные кластеры трехмерны. Наиболее стабильный ($N+1$)-атомный кластер м. б. получен добавлением атома Li к наиболее стабильному N -атомному кластеру. Для данного числа атомов N атомы, образующие наиболее стабильный кластер, характеризуются наибольшим координац. насыщением, т. е. ($N+1$)-й атом занимает положение с максим. числом 1-х, 2-х, 3-х и т. д. соседей. Найдено, что энергия связи на атом монотонно возрастает с ростом N .

М. Б. Кузьминский

8

+3

Х. 1983, 19, N14

$\text{Li}_2, \text{Li}_3, \text{Li}_4$

*G.
Li₂*

1982

L
97: 28850d Quenching and vibrational energy transfer in diatomic lithium ($B^1\Pi_u$). Dubreuil, B.; Chaleard, C. (Groupe Rech. Energet. Milieux Ionises, Univ. Orleans, 45046 Orleans, Fr.). *J. Chem. Phys.* 1982, 76(11), 5365-9 (Eng). Radiative lifetimes, quenching, and excitation transfer in the $v' = 0, 1, 2, 3, 4$ vibrational levels of $Li_2(B^1\Pi_u)$ are studied by means of time resolved laser spectroscopy in a heat-pipe-type oven. Radiative lifetimes in the range 8.35-8.6 ns compare well with recent theor. results. Quenching and excitation transfers towards neighboring vibrational levels are mainly due to collision with Li atoms with rate coeffs. in the range $1.9-5.6 \cdot 10^{-9} s^{-1} cm^3$. These values are two orders of magnitude larger than the rate coeffs. for quenching and excitation transfers induced by neon atoms. These results can be used in the rate equations of the optically pumped Li_2 laser.

C. A. 1982, 97, N 4

1982

Li₂ / 2 Д772. Тушение и передача колебательной энергии в молекуле Li₂(B¹P_u). Quenching and vibrational energy transfer in Li₂(B¹P_u). Dubrueil B., Chaleard C. «J Chem. Phys.», 1982, 76, № 11, 5365—5369 (англ.)

Методом разрешенной во времени лазерной спектроскопии изучены процессы столкновительной и радиационной дезактивации уровней $v'=0 \div 4$ состояния B¹P_u молекулы Li₂. Димеры Li₂ получались в трубчатой печи при 550—680° С с добавлением нескольких мм рт. ст. неона как буфера. Получены кинетич. кривые изменения интенсивности излучения с отдельных колебательных уровней. Определены времена жизни колебательных уровней и константы скорости тушения флуоресценции атомами Li. Константы скорости тушения тех же уровней атомами Ne по крайней мере на 2 порядка ниже. По увеличению интенсивности переходов с уровнем $v'=1 \div 3$ после импульсного заселения уровня $v'=0$ оценены константы скорости передачи колебательной энергии $v'=0 \rightarrow v''=1, 2, 3$ при столкновениях с атомами Li, которые уменьшаются с ростом Δv . Библ. 15. М. Т.

спектр;

1983, 18, № 2

hiz

1982

) 24 Б1447: Тушение и перенос колебательной энергии в $\text{Li}_2(B^1\Pi_u)$. Dubreuil B., Chalcard C. Quenching and vibrational energy transfer in $\text{Li}_2(B^1\Pi_u)$. «J. Chem. Phys.», 1982, 76, № 11, 5365—5369 (англ.)

Методом разрешенной во времени лазерной спектроскопии измерены излучательные времена жизни τ_r и константы скорости k процессов тушения и переноса энергии для колебат. уровней $v'=0—4$ возбужденного состояния $\text{Li}_2(B^1\Pi_u)$. Измерения проводили в печи типа нагретой трубки при T -рах 550—680°, обеспечивающих плотности паров Li в диапазоне $1,56 \cdot 10^{14}—3,33 \cdot 10^{15}$ см $^{-3}$ и плотности димерных молекул Li_2 $1,5 \cdot 10^{12}—6 \cdot 10^{13}$ см $^{-3}$. Парциальное давл. буферного газа Ne составляло 0,1—5 Торр. Состояния $\text{Li}_2(B^1\Pi_u, v', j')$ возбуждали из основного состояния $X^1\Sigma_g^+$ перестраиваемым лазером на красителе со спектральной шириной ~13 ГГц и длительностью импульса 3,5 ис. При этом осуществлялось одновременное возбуждение

*т, тушение
и
перенос
колебат. энергии
X, 1982, 19, № 24*

нескольких вращат. уровней j' определенного состояния Li_2 ($B^1\Pi_u$, v'). Свечение флуоресценции (Фл) в зависимости от времени регистрировали с использованием монохроматора с разрешающей силой ~ 50000 , фотомножителя (время нарастания сигнала 2 нс) и программируемого аналогово-цифрового преобразователя с временным разрешением 1,7 нс, синхронизированного с импульсным лазером. В экспериментах зависящую от времени населенность накачиваемого уровня v_p' находили на основании кинетич. измерений Фл в переходе $v_p' \rightarrow v''$ (выбирали $v' > v_p'$, чтобы свести к минимуму влияние самопоглощения на эффективное время жизни уровня). В столкновит. процессах $\text{Li}_2(B^1\Pi_u, v_p') + \text{Li}$ (или Ne) $\rightarrow \text{Li}_2(B^1\Pi_u, v' \neq v_p') + \text{Li}$ (или Ne) происходит перенос энергии колебат. возбуждения с уровня v_p' на соседние колебат. уровни v' , что приводит к возникновению сенсибилизир. Фл в переходах $v' \rightarrow v''$. Получены след. значения τ_r (нс) для уровней $v_p' = 0-4$ соотв.: $8,38 \pm 0,23$; $8,62 \pm 0,10$; $8,45 \pm 0,10$; $8,35 \pm 0,12$; $8,6 \pm 0,11$. Эти величины хорошо согласуются с известными из лит-ры теор. оценками $\tau_r = 7,8-8,3$ и $7,8-8,5$ нс для уровней $v_p' = 0$ и $v_p' = 4$ соотв. Кон-

стайты скорости тушения Фл в столкновениях с атомами Li для уровней $v_p' = 0-4$ соотв. таковы ($10^{-9} \text{ см}^3/\text{молекула}\cdot\text{с}$): $5,6 \pm 2$; $1,9 \pm 0,2$; $2,5 \pm 0,2$; $2,2 \pm 0,3$; $3,7 \pm 0,1$. Константа скорости тушения Фл в переходах с уровня $v_p' = 3$ атомами Ne равна $\sim 0,05 \cdot 10^{-9} \text{ см}^3/\text{молекула}\cdot\text{с}$ при т-ре 908 К, т. е. на два порядка величины меньше по сравнению с k тушения Фл атомами Li. Коэф. скорости переноса энергии $v_p' = 0 \rightarrow v' = 1, 2, 3$, индуцированного столкновениями с атомами Li и Ne соотв. таковы ($10^{-9} \text{ см}^3/\text{молекула}\cdot\text{с}$): $v_p' = 0 \rightarrow v' = 1 = 12,7 \pm 0,04$; $\sim 0,02$; $v_p' = 0 \rightarrow v' = 2 = 20,9 \pm 0,1$; $\sim 0,004$, $v_p' = 0 \rightarrow v' = 3 = 30,6 \pm 0,1$; $\sim 0,002$. Т. обр., эффективность переноса энергии является убывающей функцией разности $\Delta v = |v_p' - v'|$. Полученные результаты могут использоваться при анализе кинетич. ур-ний для лазеров на Li_2 с оптич. накачкой.

В. Е. Скурат

1982

Li₂

12 Д742. Точный ионизационный потенциал Li₂, полученный методом резонансной двухфотонной ионизации. Accurate ionization potential of Li₂ from resonant two-photon ionization. Eisel D., Demtroeder W. «Chem. Phys. Lett.», 1982, 88, № 5, 481—486 (англ.)

С использованием техники сверхзвуковых молекулярных пучков получена спектральная зависимость эффективности двухфотонной ионизации паров лития. Для возбуждения применены два импульсных лазера на красителях: один, настроенный в полосе поглощения $X^1\Sigma_g^+(v'', J'') \rightarrow B^1\Pi_u(v', J')$ молекулы Li₂, второй — перестраиваемый в области, необходимой для получения спектра двухфотонной ионизации. Определена величина первого адиабатич. потенциала ионизации Li₂: $(41\ 475 \pm 8) \text{ см}^{-1}$, а также энергии диссоциации иона Li₂⁺ ($^2\Sigma_g^+$): $(10\ 353 \pm 25) \text{ см}^{-1}$. Обсуждены автоионизационные процессы в Li₂ и влияние внешнего электрич. поля на измеряемое значение потенциала ионизации. Библ. 17.

М. Т.

1982, 18, N 12

1982

Y.
Ald

97: 46835g Accurate ionization potential of lithium (Li_2) from resonant two-photon ionization. Eisel, D.; Demtroeder, W. (Fachber. Phys., Univ. Kaiserslautern, D-6750 Kaiserslautern, Fed. Rep. Ger.). *Chem. Phys. Lett.* 1982, 88(5), 481-6 (Eng). Sequential 2-photon ionization of Li_2 in a supersonic beam with 2 pulsed tunable dye lasers yields an adiabatic ionization potential $\text{IP}(\text{Li}_2) = 41,475 \pm 8 \text{ cm}^{-1}$ and a dissociation energy of the ion $D_0(\text{Li}_2^+ {}^2\Sigma_g^+) = 10,353 \pm 25 \text{ cm}^{-1}$. The influence of electric fields on the measured value of the ionization potential and the appearance of numerous autoionization lines are discussed.

Y.
)

④ $\text{Li}_2^+ (D_0)$

C.A. 1982, 97, 416

1982

Li₂

18 Б22. Применение волновых функций АСГ для расчетов основных состояний Li_2 и CH^+ . Application of AGP wave functions to the ground states of Li_2 and CH^+ . Elander Nils, Sangfelt Erland, Kurtz Henry, Goscinski Osvaldo. «Int. J. Quantum Chem.», 1983, 23, № 3: Proc. 4th Int. Congr. Quantum Chem., Uppsala, 13—20 June, 1982. Contrib. Pap., Pt 3; 1047—1056 (англ.)

расчет 81,

м.н;

4

Волновые функции в виде антисимметризованной степени геминали (АСГ) применены для расчета полных потенциальных кривых основных состояний Li_2 и CH^+ . Для представления орбиталей использованы небольшие базисные наборы гауссовых функций, т. к. основной целью работы являлось исследование возможностей с функциями типа АСГ описывать диссоциацию на атомные фрагменты с нечетным числом электронов, а не получение точных значений спектроскопич. параметров.

X-1983, 19, N18

Для оптимизации орбиталей применены методы, обладающие квадратичной сходимостью. Прослежено изменение заселенностей орбиталей (и связанных с ними коэф. перед геминалями) при изменении межъядерного расстояния от равновесного до диссоциац. предела. Найдено, что метод АСГ позволяет добиться разумного описания полных потенциальных кривых, и следовательно, использование ф-ции АСГ вместо хартри-фоковской в кач-ве исходной ф-ции в приближении случайных фаз имеет хорошие перспективы для расчета и возбужденных состояний.

А. В. Немухин

Li₂ 1982

9 Д88. Использование волновых функций АСГ для основных состояний Li_2 и CH^+ . Application of AGP wave functions to the ground states of Li_2 and CH^+ . Elander Nils, Sangfelt Erland, Kurtz Henry, Goscinski Osvaldo. «Int. J. Quantum Chem.», 1983, 23, № 3: Proc. 4 Int. Congr. Quantum Chem., Uppsala, 13—20 June, 1982. Contrib. Pap., Pt 3, 1047—1056 (англ.)

расчет до;

(A) R

На примере молекул Li_2 и CH^+ исследована применимость приближенных волн. ф-ций типа антисимметризованных степеней геминалей (АСГ) для описания диссоциации системы с замкнутой электронной оболочкой на фрагменты с нечетным числом электронов. Показано, что энергия диссоциационного предела близка к сумме хартри-фоковских энергий атомов, тогда как при равновесных межъядерных расстояниях энергия молекул включает значительную часть корреляционных поправок.

92. 1983, 18, № 9

вок. Анализ заселенностей натуральных орбиталей подтвердил, что ф-ция АСГ на диссоциационном пределе является некоррелированной, а ф-ции АСГ изолированных атомов сильно коррелированы (напр., корреляционная энергия АСГ для Li составляет 87,7% от точной). Обнаруженный эффект может приводить к завышению расчетной диссоциационной энергии молекулы. Оценки энергии диссоциации по разности энергий молекулы и изолированных атомов в приближении АСГ оказались заниженными.

А. В. Зайцевский



Li₂ *Om. 15003 1982*

1 Д870. Индуцированные столкновениями переходы между электронными состояниями $B \leftarrow A$ и $C \leftarrow B$ возбужденных лазером молекул Li_2 . Collision-induced transitions between electronic states $B \rightarrow A$ and $C \rightarrow B$ of laser-excited Li_2 molecules. Еппен Г., Оттингер Ч. «J. Chem. Phys.», 1982, 76, № 12, 5812—5819 (англ.)

М.Н; Получены спектры флуоресценции паров лития в присутствии аргона, возбужденные лазером Ar^+ с линиями 514,5 нм, 496,5 нм, 488 нм, 476,5 нм, 457,9 нм и 351,1 нм. Кроме полос, соответствующих переходам молекул Li_2 из возбужденных состояний $A^1\Sigma_a^+$, $B^1\Pi_u$, $C^1\Pi_u$ в основное состояние $X^1\Sigma_g^+$, наблюдены полосы, отвечающие переходам между возбужденными состояниями и запрещенными правилами отбора. Поскольку интенсивность этих полос возрастает при увеличении давления аргона, они связаны с переходами, индуцированными столкновениями молекул Li_2 с атомами аргона. Определены сечения столкновений, вызывающих эти переходы. Библ. 23.

М. В. Т.

ср. 1983, 18, N/

L.
Li₂

Omnick 15003 1982

97: 101353a Collision-induced transitions between electronic states $B \rightarrow A$ and $C \rightarrow B$ of laser-excited diatomic lithium molecules. Ennen, G.; Ottinger, C. (Max-Planck-Inst. Stroemungsforsch., 3400 Goettingen, Fed. Rep. Ger.). *J. Chem. Phys.* 1982, 76(12), 5812-19 (Eng). Nonradiative transitions between the Li₂ ($C^1\Pi_u$, $B^1\Pi_u$, $A^1\Sigma_u^+$) states were studied using monochromatic laser excitation. In a cell expt. under single-collision conditions, the $B \rightarrow A$ transfer was induced by rare gas atom collisions. With Ar, the cross section is 240 Å². $B \rightarrow A$ And $C \rightarrow B$ transfer by Li atom collisions was obsd. with cross sections 1200 and 330 Å², while $C \rightarrow B$ transfer is not measurably induced by Ar collisions. The final state rotational-vibrational level population distribution is very broad and non-Boltzmann.

C.A. 1982; 97, N 12

Li₂

Омск 15003

1982

24 Б158. Индуцированные столкновениями переходы между электронными состояниями $B \rightarrow A$ и $C \rightarrow B$ молекулы Li_2 , возбуждаемый лазерным излучением.
Ennen-G., Ottinger Ch. Collision-induced transitions between electronic states $B \rightarrow A$ and $C \rightarrow B$ of laser-excited Li_2 molecules. «J. Chem. Phys.», 1982, 76, № 12, 5812—5818 (англ.)

Изучены нерадиац. переходы между состояниями $C'\Pi_u$, $B'\Pi_u$ и $A^1\Sigma_u^+$. Возбуждение паров Li_2 осуществляли Ar^+ -лазером. Для возбуждения состояния $B'\Pi_u$ использованы линии 4579, 4765, 4880, 4965 и 5145 Å, для состояния $C'\Pi_u$ — 3511 Å. Ячейка с Li_2 нагрета до 650°. Парц. давл. инертных газов, добавляемых в ячейку, варьировали от 0,5 до 15 мм. Получены сечения для след. процессов: $\text{Li}_2(C'\Pi_u) + \text{Li} \rightarrow \text{Li}_2(B'\Pi_u) + \text{Li}$, $\sigma = 3300 \text{ Å}^2$, $\text{Li}_2(B'\Pi_u) + \text{Li} \rightarrow \text{Li}_2(A^1\Sigma_u^+) + \text{Li}$, $\sigma = 1200 \text{ Å}^2$, $\text{Li}_2(B'\Pi_u) + \text{Ar} \rightarrow \text{Li}_2(A^1\Sigma_u^+) + \text{Ar}$, $\sigma = 240 \text{ Å}^2$. Сечения процесса $\text{Li}_2(C'\Pi_u) + \text{Ar} \rightarrow$ мало. σ определяли

$B \rightarrow A$
 $C \rightarrow B$

X. 1982, 19, N24

по относит. интенсивности полос $(C'\Pi_u - X'\Sigma_g^+)$ и $(B'\Pi_u - X'\Sigma_g^+)$ для $C \rightarrow B$ и $(B'\Pi_u - X'\Sigma_g^+)$ и $(A'\Sigma_u^+ - X'\Sigma_g^+)$ для $B \rightarrow A$ при разных давлениях буферного газа. Показано, что о для $B \rightarrow A$ не зависит от длины волны возбуждающей лазерной линии. Сравнение экспериментально полученных спектров флуоресценции и рассчитанных при условии Больцмановского распределения показало, что расселение по колебательно-вращательной структуре состояний $B'\Pi_u$ и $A'\Sigma_u^+$ в результате столкновений происходит в широкой области V' и I' и неравновесно.

В. М. Ковба

для
внеш

1982

5 Б228. Спектры КР матрично-изолированных димеров металлов и больших молекул. Raman spectra of matrix-isolated metal dimers and larger molecules. Frank F., Schulze W., Froben F. W. «Raman Spectrosc.: Linear and Nonlinear. Proc. 8th. Int. Conf., Bordeaux, 6—11 Sept., 1982». Chichester e. a., 1982, 657—658 (англ.)

Обсуждены имеющиеся результаты исследований изолированных в матрицах димеров металлов периодич. системы (Li_2 , Na_2 , K_2 , Cu_2 , Ag_2 , Al_2 , Ga_2 , In_2 , Tl_2 , Pb_2 , As_2 , Sb_2 , Bi_2). Металлы испаряли из нагреваемых током ячеек Куудсена, скорость напыления контролировалась методом микробаланса. Атомы металлов соосаждались с инертным газом на полированную медную пластинку при 6—20 К. Возбуждение спектров КР осуществляли Kr^+ -лазером. Рассмотрено поведение

42
#12

X. 1983, 19, N5

спектров при аниелировании, в частности, отмечен рост полос тримеров и полимеров при высоких конц-иях металла и повышенных т-рах осаждения. Измерения спектров с варьированием частоты возбуждающей линии от УФ- до ИК-области дают дополнит. информацию, необходимую для надежного отнесения. Отмечено, что изучение сдвига частот в ИК- и КР-спектрах при адсорбции малых неорг. молекул (CO , NO , NH_3) на кластерах Ag_3 имеет большое значение для исследования механизма катализа.

С. Б. Осин

1982

Li₂

22 Б17. Правильный учет поляризации остова в псевдопотенциалах: соединения щелочных металлов с одним валентным электроном. Fuentelba Patricio, Preuss Heinz Werner, Stoll Hermann, Von Szentpály László. A proper account of core-polarization with pseudopotentials: single valence-electron alkali compounds. «Chem. Phys. Lett.», 1982, 89, № 5, 418—422 (англ.)

Исследованы возможности включения в псевдопотенциал (ПП) поправок на поляризацию остова. Рассмотрены 2 случая: а) включение поляризац. Пт в полуэмпирич. ПП и б) учет поляризац. Пт в хартри-фоковском ПП. Показано, что для молекул учет поляризац. Пт в ПП приводит к появлению зависимости ПП от геометрии молекулы. Для молекул A_2^+ и AH^+ ($A = Li, Na, K$) с использованием ПП типа (а) и (б) вычислены спектроскопич. параметры R_e , D_e и ω_c . Уста-

(+5)

X. 1982, 19, N 22.

Na_2 , K_2 , LiH^+ ,
 NaH^+ , KH^+

новлено, что отсутствие поправки на поляризацию осто-
ва в полуэмпирич. ПП приводит к занижению величи-
ны межъядерного равновесного расстояния R_e и уве-
личению энергии диссоциации D_e в рассмотренных мо-
лекулах. В случае (б) учет поляризац. поправки к ПП
приводит к занижению величины R_e и завышению ве-
личины D_e по сравнению с соотв. величинами, рассчи-
танными с использованием хартри-фоковского ПП.

И. А. Тополь

14848. 1982

Li₂
1 Д140. Неэмпирические расчеты молекул с помощью псевдопотенциалов: высококачественные расчеты Li₂, LiH и BeH₂. Ab initio molecular calculations with pseudopotentials. higher quality calculations on Li₂, LiH, and BeH₂. Gáspár R., Gáspár R., J. «Int. J. Quantum Chem.», 1982, 22, № 2, 421—427 (англ.)

Путем численного интегрирования для атомов тем же методом, что и ранее (см. реф. 1Д139) получены 2-экспонентные псевдопотенциалы для атомов Li и Be. В том же приближении проведены расчеты Li₂ (длина связи 5,12 ат. ед., эксперим. значение 5,05 ат. ед.), LiH (2,95 и 3,10 ат. ед., дипольный момент 6,33 и 5,88 ед. Дебая) и BeH₂ (2,585 и 2,54 ат. ед.). Проанализирована сходимость метода расчета как функции числа примитивных орбиталей и числа независимых варьируемых параметров для LiH. В. Л. Лебедев

расчет
геометрии,
структур

М.Н.

12

9. 1983, 18, N 1

Li₂

(Om. 14848)

1982

ЗБ41. Неэмпирические молекулярные расчеты с псевдопотенциалами. Расчеты повышенной точности для Li₂, LiH и BeH₂. Ab initio molecular calculations with pseudopotentials: higher quality calculations on Li₂, LiH, and BeH₂. Gáspár R., Gáspár R., Jr. «Int. J. Quantum Chem.», 1982, 22, № 2, 421—427 (англ.)

Методом псевдопотенциала рассчитаны равновесные межъядерные расстояния и энергии связи для молекул Li₂, LiH и BeH₂. Волновые функции валентных электронов построены в приближении плавающих сферич. гауссовых орбиталей. Выражение для модельного потенциала атомов Li и Be записано в виде комбинации кулоновской и гауссовых функций. Параметры гауссовых функций в модельном потенциале подобраны по энергиям основного и возбужденных состояний атомов с помощью численной процедуры, а не при реше-

расчет
几何
структуры,
До; (f2)

X. 1983, 19, n. 3

нии атомной задачи вариац. методом. Отмечено, что полученные таким образом параметры модельных потенциалов обеспечивают большую точность в молек. расчетах.

А. В. Немухин

Liz

Omnuck 14848 1982

97: 98587x Ab initio molecular calculations with pseudo=potentials: higher-quality calculations on lithium dimer, lithium hydride, and beryllium dihydride. Gaspar, R.; Gaspar, R., Jr. (Inst. Theor. Phys., Kossuth Lajos Univ., H-4010 Debrecen, Hung.). *Int. J. Quantum Chem.* 1982, 22(2), 421-7 (Eng). New pseudopotentials of higher quality were used in ab initio mol. calcns. Simple mol. systems like Li₂, LiH, and BeH₂ were investigated with varying basis sets. Energy, geometrical parameters, and dipole moments were detd. The convergence properties of the various quantities have been investigated. They show characteristic behavior, e.g., stationary value for the energy where such behavior may be expected.

*neopen
problem*

(72)  LiH, BeH₂ 

C.A. 1982, 97, N/2

Li₂

1982

1 Д117 ДЕП. Программа для квантовомеханических расчетов двухатомных молекул методом Хартри—Фока—Рутана. Гусейнов И. И., Имамов Э. М., Исмаилов Э. Х.; Азерб. ун-т. Баку, 1982. 15 с. Библиогр. 6 назв. (Рукопись деп. в ВИНИТИ 19 июля 1982 г., № 3855—82 Деп.)

На основе полученных ранее аналитич. ф-л для многоцентровых интегралов с орбиталами слэтеровского типа разработаны алгоритмы для проведения квантовомеханич. расчетов двухатомных молекул по методу Хартри—Фока—Рутана. С помощью этих алгоритмов найдены волн. ф-ции, энергетич. уровни и полные энергии основных состояний двухатомных молекул Li_2 , Be_2 , C_2 , N_2 , F_2 , LiH , BH , NH , FH , CO , BF и LiF . При этом показатели экспонент атомных орбиталей найдены из аналитич. ф-лы. Полученные результаты для полных энергий молекул хорошо согласуются с эксперим. значениями.

Автореферат

(+1)

г. 1983, 18, N 1

Li_2

1982

Potassium

Hout Robert F., Levi Bever-
ly A., et al.

Pi

J. Comput. Chem., 1982,
3, N2, 234-250.



(C₂₂H₂; $\overline{\text{II}}$)

7/
Li₂

1982

97: 14158x A spectroscopic study of the G¹Π_g state of lithium-7 dimers by pulsed optical-optical double resonance. Veirs, Douglas Kirk (Pennsylvania State Univ., University Park, PA USA). 1981. 131 pp. (Eng). Avail. Univ. Microfilms Int., Order No. DAS205934. From *Diss. Abstr. Int. B* 1982, 42(10), 4083.

(u.n.)

C.A. 1982, 97, N2.

1982

Li₂

pacrem
HLLAELUX
NEKMPOT.
COCMOLH.

(73)

Na₂, Li₂⁺, Na₂⁺

C. A. 1982, 96, N/18

96: 151594c Electronic structure and spectra of light alkali diatomic molecules and their molecular cations. Konowalow, D. D.; Rosenkrantz, M. E. (Dep. Chem., State Univ. New York, Binghamton, NY 13901 USA). ACS Symp. Ser. 1982, 179(Met. Bonding Interact. High Temp. Syst. Emphasis Alkali Met.), 3-17 (Eng). All-electron ab-initio calcns. of the potential curves and wavefunctions for the 8 lowest-lying electronic states of Li₂ and of Na₂ and the 6 lowest-lying electronic states of Li₂⁺ and Na₂⁺ were used to predict the spectral features of a variety of transitions. These results were scaled to predict qual. several aspects of the structure and spectra of K₂, K₂⁺, Rb₂, Rb²⁺, Cs₂, and Cs₂⁺.

Li₂

1982

10 Б1054. Электронная структура и спектры двухатомных молекул легких щелочных металлов и их молекулярных катионов. Electronic structure and spectra of light alkali diatomic molecules and their molecular cations. Kopowalow D. D., Rosenkranz M. E. «Metal Bond and Interact. High Temp. Syst. Emphasis Alkali Metals. Symp. 181st Meet. Amer. Chem. Soc., Atlanta, Ga, March 31 — Apr. 3, 1981». Washington, D. C., 1982, 3—17 (англ.)

Приведены результаты неэмпирич. квантовомех. расчетов кривых потенциальной энергии тех состояний молекул Li₂, Na₂ и их однозарядных катионов Li₂⁺, Na₂⁺, к-рые адиабатически коррелируют с первыми двумя диссоциац. пределами. Расчеты проведены в приближении ССП, в основном же использованы лит. данные. Обсуждены общие черты и различия потенциальных кривых состояний одинаковой симметрии для

Модель. крив.

м.п., 2e; (f9)

X. 1984, 19, N 10 *Li₂⁺*, *Na₂, Na₂⁺, K₂, K₂⁺*
Rb₂, Rb₂⁺, Cs₂, Cs₂⁺

соединений Li и Na. Погрешности в энергиях для Li_2 , Li_2^+ оцениваются в 2%, для Na_2 , Na_2^+ — в 6%. С помощью процедуры масштабирования по равновесному межъядерному расстоянию и энергии связи с использованием данных для Li_2 , Li_2^+ , Na_2 , Na_2^+ построены потенциальные кривые некоторых связанных состояний для K_2 , K_2^+ , Rb_2 , Rb_2^+ , Cs_2 , Cs_2^+ . Обсуждены способы расчета дипольных моментов переходов и интенсивностей электронных спектров на основании неэмпирич. расчетов. Отмечено, что полуэмпирич. оценки интенсивностей без привлечения данных об энергиях молекул в области равновесных межъядерных расстояний могут приводить к ошибкам до 70%.

А. В. Немухин

1982

Li₂

*расчет
потенц. крив.*

5 Д55. Электронное строение двухатомных молекул легких щелочных металлов и их молекулярных катионов. Electronic structure and spectra of light alkali diatomic molecules and their molecular cations. Конополов D. D., Rosenkranz M. E. «Metal Bond. and Interact. High Temp. Syst. Emphasis Alkali Metals Symp: 181 Meet. Amer. Chem. Soc., Atlanta, Ga, March 31—Апр. 3, 1981». Washington, D. C., 1982, 3—17 (англ.)

Неэмпирическим методом ССП МО ЛКАО рассчитаны потенц. кривые (ПК) 8 низколежащих электронных состояний Na_2^+ . С использованием данных проведенных ранее авторами аналогичных расчетов для Li_2 , Na_2 и Li_2^+ обсуждены различные спектральные характеристики указанных систем и построены ПК для K_2 , Rb_2 , Cs_2 и их монокатионов. Библ. 32.

В. Л.

(49)

18

сб. 1984, 18, N5



Na_2 , K_2 , Rb_2 , Cs_2 ,
 Li_2^+ , Na_2^+ , K_2^+ , Rb_2^+ , Cs_2^+

Li₂

Оппись 14644 1982

24 Б19. Влияние взаимодействия ионной пары Li⁺Li⁻ на спектр колебательных энергий второго возбужденного состояния Li₂ симметрии ${}^1\Sigma_g^+$. Kopowalow Daniel D., Fish J. L. The effect of Li⁺Li⁻ ion-pair interaction on the vibrational energy spectrum of the second excited state of Li₂ of ${}^1\Sigma_g^+$ symmetry. «J. Chem. Phys.», 1982, 76, № 9, 4571—4572 (англ.)

расчет Li,
м.п.

На основании неэмпирич. расчета возбужденных электронных состояний молекулы Li₂ проведена интерпретация колебательного спектра для электронного состояния $E{}^1\Sigma_g^+$, к-рое является третьим состоянием данного типа симметрии. Потенциальная кривая для этого состояния рассчитана в рамках приближения эффективного потенциала; она обладает двумя минимумами, а в области больших расстояний ее поведение полностью определяется взаимодействием ионной пары Li⁺Li⁻. Получено хорошее согласие между теоретиче-

X. 1982, 19, № 24

ски рассчитанными колебательными уровнями с $v < 12$ и эксперим. данными. Отмечено, что колебательный уровень с $v = 12$ соответствует положению второго минимума на потенциальной кривой, и данная область энергий является наиболее интересной для дальнейших эксперим. исследований.

Б. И. Жилинский



Li₂

Омск 14.04. 1982

12 Д88. Влияние взаимодействия ионной пары $\text{Li}^+ - \text{Li}^-$ на спектр колебательной энергии второго возбужденного состояния молекулы Li_2 с симметрией ${}^1\Sigma_g^+$. The effect of Li^+Li^- ion-pair interaction on the vibrational energy spectrum of the second excited state of Li_2 of ${}^1\Sigma_g^+$ symmetry. Kopowalow Daniel D., Fish J. L. «J. Chem. Phys.», 1982, 76, № 9, 4571—4572 (англ.)

Делается попытка объяснить наблюдаемую необычную последовательность колебательных уровней второго возбужденного ${}^3\Sigma_g^+$ -состояния молекулы Li_2 . Неэмпирически методом эффективного потенциала, учитывающим дипольную и квадрупольную поляризуемость $1s^2$ -остова, рассчитана кривая потенц. энергии этого состояния. Использовался базис из 11 ф-ций, приводящий к правильным энергиям атомных $2s^2S$ -, $2p^2P$ -, $3s^2S$ - и ионного $2s^2$ 1S -состояний. Кроме того, выбор базиса определялся возможностью правильного предсказания

*Кричал
потенц.
Нергии*

апр. 1982, 18, N12

дипольной и квадрупольной поляризуемостей $2s^2S$ - и $2p$ 2P -атомов. Рассчитанная кривая потенц. энергии имеет несколько необычную форму: кроме минимума при малых расстояниях имеется второй широкий минимум, отделенный от основного невысоким барьером. Такое поведение объясняется доминирующей ролью кулоновского взаимодействия в конфигурации Li^-Li^+ ионной пары на расстояниях до 5 Å. Необычен и колебательный спектр в таком потенциале: разность энергий колебательных уровней вначале монотонно падает, затем при достижении горба она возрастает и после прохождения горба опять начинает уменьшаться. Полученный спектр хорошо согласуется с экспериментальным.

А. А. Зембеков

1982

Li₂
4 Б1014. Современные достижения в релятивистской квантовой химии. Recent developments in relativistic quantum chemistry. Malli G. L. «Curr. Aspects Quantum Chem., 1981. Proc. Int. Conf. and Workshop, Barcelona, 28 Sept.—3 Oct., 1981». Amsterdam e. a., 1982, 199—218 (англ.)

Статья обзорного характера. На примере релятивистской теории одно- и многоэлектронных атомов рассмотрены проблемы вариац. нестабильности, обусловленной примешиванием состояний с отриц. энергией к состояниям с положит. энергией в различных вариантах теории Дирака—Фока. Обсужден формализм метода Дирака—Фока для молек. систем с замкнутыми и открытыми электронными оболочками, а также схема построения многоконфигурац. метода Дирака—Фока. Проанализированы проблемы выбора базиса гауссовых и слэтеровских ф-ций при проведении релятивистских молек. расчетов. В кач-ве иллюстрации представлены результаты релятивистских расчетов орбитальных и полных энергий молекул Li_2 , Be_2 , F_2 , а также LiH и H_2CO .

расчет E ;

☒

(+)

X. / 984, 19,
N 4

И. А. Тополь

Liz

Ummick 13987

1982

Okwada K.,
K.B. et al.

paeriu J. Chem. Phys., 1982,
76, n^o 5, 2565-2568.
●

1982

Li₂ (Класенко)

14 Б16. Исследование кластеров щелочных металлов методом псевдопотенциала с учетом конфигурационного взаимодействия, включающего двукратные возбуждения из нескольких исходных конфигураций. Pacchioni Gianfranco, Beckmann Hans-Ottmar, Koutecký Jaroslav. Investigation of alkali-metal clusters with pseudopotential multireference double-excitation configuration interaction method. «Chem. Phys. Lett.», 1982, 87, № 2, 151—158 (англ.)

расчет МЛ.,
до, компр.
структур

Неэмпирическим методом ССП MO с учётом конфи-
гурац. взаимодействия (КВ) и приближения псевдопо-
тенциала (ПП) для учета оставших электронов прове-
дены расчеты простейших кластеров M_2 и M_4 , $M=Li$,
 Na , K . Расчет КВ проводили в рамках процедуры уче-
та всех однократно и двукратно возбужденных конфи-
гураций по отношению к нескольким исходным конфи-
гурациям (с использованием техники экстраполяции к
нулевому порогу). Параметры полуулокального ПП взя-

(75)

г. 1982, 19, N14

Li₄, Na₂, N₄, K₂, K₄

ты из работы («Mol. Phys.», 1977, 33, 159). Рассчитанные в приближении ПП МО, корреляц. эффекты, геометрии кластеров, энергии диссоциации и ионизаци. потенциалы хорошо согласуются с результатами расчетов, учитывающих все электроны. Расчеты двухатомных молекул приводят к хорошему согласию с экспериментом. Для M_4 найдена ромбич. геометрия в случае основных синглетного и плоская квадратная в случае триплетного состояний. С увеличением атомного номера различие в стабильности различных кластерных форм уменьшается, энергии связи тоже уменьшаются, а корреляц. эффекты возрастают.

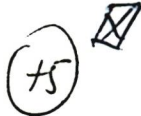
А. Багатурьянц



1982

Li₂

meopem
pacrem

(75) 

C. A. 1982, 96, N26.

96: 223601e Investigation of alkali metal clusters with pseudopotential multireference double-excitation configuration interaction method. Pacchioni, Gianfranco; Beckmann, Hans Ottmar; Koutecky, Jaroslav (Inst. Phys. Chem., Freie Univ. Berlin, 1000 Berlin, 33 Fed. Rep. Ger.). *Chem. Phys. Lett.* 1982, 87(2), 151-8 (Eng). The energies of dimers and tetramers of Li, Na, and K were calcd. by using a pseudopotential method with multiref. double-excitation CI. Results for Li and Na are compared with corresponding all-electron calcns. Geometry optimization of K₄ predicted a comparable stability for singlet rhombic and T-shaped forms and for the triplet square arrangement.

● Li₂, Na₂ Na₃,
K₂, K₃

Li₂

1982

8 Д149. Исследование кластеров щелочных металлов в приближении псевдопотенциала методом конфигурационного взаимодействия с включением двукратно возбужденных конфигураций по отношению к набору ссыпочных функций. Investigation of alkali-metal clusters with pseudopotential multireference double-excitation configuration interaction method. Pacchioni Gianfranco, Beckmann Hans-Ottmar, Koutecký Jaroslav. «Chem. Phys. Lett.», 1982, 87, № 2, 151—158 (англ.)

D_o, d.n.

Методом конфигурац. взаимодействия в валентном приближении рассчитаны стабильность, равновесная геометрия и потенциалы ионизации димеров и тетramerов Li, Na и K. В расчете использовалась схема эстраполяции результатов на полный учет конфигурац. взаимодействия в пространстве двукратно возбужденных конфигураций. Найдено, что в случае Li₄ и Na₄ наиболее устойчивой является ромбич. конформация, которой отвечает синглетное электронное состояние. Для K₄ ромбическая, квадратная и Т-образная конформации практически имеют одну и ту же энергию связи (соответственно 5,69; 5,07 и 5,03 ккал/моль).

(+) 5

φ. 1982, 18, N8

Для молекул Li_2 , Na_2 , Li_4 и Na_4 проведены также расчеты с учетом всех электронов, результаты которых хорошо согласуются с результатами расчетов, сделанных в валентном приближении. А. Дементьев

Na_2 , K_2 , Li_4 , Na_4 , K_4

НС
так?

Liz

Lommuck 162831

1982

Painter G.S., Averill F.W.,

The press
6834

Phys. Rev. B: Condens.

Matter, 1982, 26, N 4,

781-790.

${}^6\text{Li}_2$, ${}^6\text{Li}{}^7\text{Li}$

1982

99: 203233v New optically pumped alkali metal dimer lasers.
Rajaei-Rizi, A.; Bahns, John T.; Verma, K. K.; Stwalley, William C. (Iowa Laser Fac., Univ. Iowa, Iowa City, IA 52242 USA). *Proc. Int. Conf. Lasers 1981* (Pub. 1982), 447-9 (Eng). Stable unidirectional ring laser oscillation of optically pumped ${}^6\text{Li}_2$ and ${}^6\text{Li}{}^7\text{Li}$ mols. was obtained for the 1st time. A total of 27 transitions for ${}^6\text{Li}_2$ and 3 transitions for ${}^6\text{Li}{}^7\text{Li}$ were obsd.; also 14 new Na_2 transitions were obsd. Transitions were obsd. in the range 5196-5889 Å pumping with one of 7 single-mode Ar ion laser lines in the 4579-5017 Å range.

(Lasers)

$\textcircled{1}^X$ ${}^7\text{Na}_2$

c. A. 1983, 99, N24

Liz

Ommelock 14511

1982

Rajaei-Lizi A., Bahns G.T.
et al.,

CHEKMP

Appl. Phys. lett., 1982,
40, N10, 869-871.

Li-Li 1982
Li-Li-Li Rao B.K., Das T.P.

нормы.
Бар-геп
Барес.
Бзакуко.

Примера 1982, 19
(3), 289-302.

(см. Li-He; iii)

1982

Li_2

Reynolds P. J., Ceperley
D. M., et al.

pacuum Ei,
u. n.

J. Chem. Phys., 1982,
77, N 11, 5593 - 5603.

(ccs. H_2 ; \overline{II})

Li₂

1982

5 Д143. Электронное строение небольших кластеров металлов групп IA и IB. Electronic structure of small group IA and IB metal clusters. Richtsmeier Steven C., Eades Robert A., Dixon David A., Gole James L. «Metal Bond. and Interact. High Temp. Syst. Emphasis Alkali Metals. Symp. 181 Meet. Amer. Chem. Soc., Atlanta, Ga, March 31—Apr. 3, 1981». Washington, D. C., 1982, 177—205 (англ.)

Неэмпирическим методом ССП МО ЛКАО в больших базисах сгруппированных гауссовых ф-ций исследовано электронное строение Li_2 , Li_3 (I), Li_5 , Na_2 , Na_3 (II). Проанализированы различные схемы расчета трудаства к электрону с использованием неэмпирических волн. ф-ций. Детально проанализированы поверхности потенц. энергии (ППЭ) для I, I- и II. Методом 2-атомных

(4)

18

cf. 1984, 18, n5

фрагментов в молекулах рассчитаны I, II, K₃, Rb₃ и CS₃ (кластеры металлов группы IA), Cu₃, Ag₃ и Au₃ (кластеры металлов группы IB). Показано, что наиболее стабильной конфигурацией тримеров является ²B₂ симметрии C_{2v}. Тримеры являются связанными по отношению к диссоциации на атом и 2-атомную молекулу. В то же время подчеркнуто, что ППЭ тримеров очень пологи и их структура является гибкой, поэтому, хотя они и были изолированы в матрицах при низкой т-ре, в газовой фазе они должны быть гибкими и легко испытывать псевдовращение между состояниями ²A₁ и ²B₂. Рассчитаны и подробно обсуждены колебательные частоты для этих состояний и отмечена трудность отнесения частот, связанная с гибкостью молекул. Библ. 64. В. Л.

Li₂

1982

Ae;

(+10) ~~(-10)~~

C.A. 1982, 96, N 18

All. Ha 080207

96: 149370k Electronic structure of small Group IA and IB metal clusters. Richtsmeier, Steven C.; Eades, Robert A.; Dixon, David A.; Gole, James L. (Dep. Chem., Univ. Minnesota, Minneapolis, MN 55455 USA). *ACS Symp. Ser.* 1982, 179(Met. Bonding Interact. High Temp. Syst. Emphasis Alkali Met.), 177-205 (Eng). The electronic structures of Group IA and IB

metal clusters were detd. using 2 theor. methods: ab initio MO theory and the semiempirical DIM method. Electron affinities for Li₂, Li₃, Li₃⁻, Na₂, and Na₃ are detd. and various methods for calcg. the electron affinity from ab initio wavefunctions are considered. Surfaces for Li₃ and Li₃⁻ are discussed in detail with respect to electron attachment and detachment. Similar considerations are outlined for Na₃. The structures of the Group IA trimers, Li₃, Na₃, K₃, Rb₃, and Cs₃ were calcd. using the DIM method. The trimers are all bound with respect to dissociation to atom plus diat. having C_{2v} structures, a ²B₂ (obtuse angle)

geometry being the most stable form. A 2A_1 state lies slightly higher in energy. A general discussion of the potential energy surface for the trimers is presented. Further DLM calcns. on the Group IB trimers (Cu_3 , Ag_3 , Au_3) are outlined and their similarity to the Group IA trimers is emphasized. Vibrational frequencies for the 2B_2 and 2A_1 configurations are presented (uncorrected for the effect of higher potential surfaces) in the hope that they will aid the search for trimer spectroscopic features in both matrix isolation and gas phase spectroscopic studies.

Li_3 (Ae, симметрия, парен)
 Li_5 (Ae)
 Na_2 (Ae)
 Na_3 (Ae, симметрия, парен)

K_3 (симметрия, парен)
 Ca_3 (-, -, -)
 Rb_3 (-, -, -)
 Li_3 (нейтр. фаза)
 Ag_3 , Au_3 (симметрия, фаза)

Li₂ Om. 15453 1982

4 Б21. Расчёт энергии диссоциации основного состояния Li_2 в рамках обобщенной геминальной модели.
An extended geminal model calculation of the dissociation energy of the ground state of Li_2 . Roeggen I.
«Chem. Phys. Lett.», 1982, 92, № 4, 398—404 (англ.)

Предложенный автором обобщенный метод геминалей (см. «Int. J. Quantum Chem.», 1981, 19, 319; 1981, 20, 817) применен для расчёта энергии диссоциации основного состояния молекулы Li_2 в базисе ОГТ [9s5p1d]. Расчёт выполнен в трех точках на потенциальной кривой вблизи предполагаемого равновесного межъядерного расстояния и для расстояния 50,0 ат. ед. Полученное значение энергии диссоциации 1,024 эВ — одно из наиболее близких к эксперим. значению 1,048 \pm 0,012 по сравнению с предшествующими расчё-

М.Н., №

X. 1983, 19, N 4.

тами, тогда как погрешность в определении равновесного межъядерного расстояния оказалась неожиданно большой — 0,017 Å. Обсуждены возможные источники ошибок данного расчета и др. теор. подходов к определению энергии диссоциации Li₂. А. В. Немухин

Li₂

Dm. 15453 }

1982

97: 223369f An extended geminal model calculation of the dissociation energy of the ground state of diatomic lithium. Roeeggen, I. (Inst. Math. Phys. Sci., Univ. Tromsoe, 9001 Tromso, Norway). *Chem. Phys. Lett.* 1982, 92(4), 398-404 (Eng). The dissoen. energy of the ground state of the Li₂ mol. was caled. by using an extended geminal model. The caled. result is 1.024 eV and the exptl. value is 1.048 ± 0.012 eV. The discrepancy can at least partly be attributed to a deficiency in the orbital basis set.

Dm.

C.A.1982, 97, N26

Li₂

Om. 15453 1982

3 Д61. Расчеты энергии диссоциации основного состояния Li₂ в рамках расширенной модели геминалей.
An extended geminal model calculation of the dissociation energy of the ground state of Li₂. Roeggen I.
«Chem. Phys. Lett.», 1982, 92, № 4, 398—404 (англ.)

Основн.
состоян.,
До лотерии.
Крикое

оп. 1983, 18, № 3

состояния молекулы Li_2 в базисе сгруппированных гауссовых ф-ций [9s5p1d]. Размерность орбитальных подпространств как для связывающей, так и для остаточных электронных пар равнялась пяти, что обеспечивало удовлетворительное описание связывающей геминали при всех межъядерных расстояниях и достаточно точный учет энергии корреляции между электронными парами (ЭКМП). Полученное значение энергии диссоциации Li_2 составляет 1,024 эВ и отличается от экспериментального менее чем на 3%. Отмечено, что пренебрежение ЭКМП, эквивалентное переходу к обычной модели АПСОГ, увеличивает эту ошибку вдвое. Расчетная длина связи на 0,017 Å больше экспериментальной. Обсуждается возможность изменения различных составляющих корреляционной энергии при расширении базиса.

А. В. Зайцевский

lid

1982

ЗБ14. Необходимо ли представление об атомах для построения молекулярных электронных волновых функций? I. Модель ПОРП. Are atoms intrinsic to molecular electronic wavefunctions? I. The FORS model. Ruedenberg Klaus, Schmidt Michael W., Gilbert Mary M., Elbert S. T. «Chem. Phys.», 1982, 71, № 1, 41—49 (англ.)

Изложена концепция полного оптим. реакц. пространства (ПОРП) для описания электронной структуры молекул, меняющейся в ходе хим. превращения. Кроме вычислительных аспектов проблемы большое внимание уделено интерпретации молек. волновых ф-ций в привычных хим. терминах, в частности, тому, как сохранить представление об атомах, составляющих молек. систему. Отмечено, что для каждой молекулы можно т. обр. сгруппировать исходный набор примитивных гауссовых АО, чтобы выделить базисный набор

расчет потенц.
крайней
основного
состояния
Х. 1983, 19, № 3

С2Н4 (расчет потенц
поверхн.)

доминирующих АО на каждом центре, совпадающий с миним. базисным набором атома.' Сформулированы правила для дополнения этих миним. наборов до системы базисных ф-ций, позволяющих проводить достаточно точные расчеты. В таких базисах предполагается далее проводить оптимизацию МО методом МК ССП. При этом набор МО подразделяется на орбитали, заселенные в конфигурац. ф-циях, и орбитали, роль к-рых сводится лишь к исправлению в процессе итераций МК ССП орбиталей 1-го типа. Предполагается, что число МО первого типа не превышает суммарного числа АО в миним. базисных наборах атомов. Конфигурации, возникающие при распределении электронов молекулы всеми возможными способами по МО 1-го типа, образуют полное реакц. пространство. Модель ПОРП предполагает оптимизацию МО.. Приведены примеры, иллюстрирующие описанную процедуру: расчет потенциальной кривой основного состояния молекулы Li_2 и расчет двух низших потенциальных Пв C_2H_4 .

А. В. Немухин

Li_2

1982

Саронов А.А., узп.

pacess. Вестн. УПУ. Химия
и.н. 1982, 22, XI, 27-30.

(ев. M_2 ; III)

Li₂

1982

21 Б93. Неэмпирический расчет потенциала взаимодействия между атомами гелия в основном состоянии и [молекулами] Li_2 в состояниях $X^1\Sigma_g^+$ и $A^1\Sigma_u^+$. Staemmler V., Stahl U. Ab initio calculation of the interaction potential between ground state helium atoms and Li_2 in the $X^1\Sigma_g^+$ and $A^1\Sigma_u$. «Beg. Bunsenges. phys. Chem.», 1982, 86, № 5, 480—481 (англ.)

*потенциал
крайне*

Методами конфигурац. взаимодействия и связанных электронных пар с учетом всех одно- и двукратных возбуждений рассчитаны потенциальные Пв, отвечающие взаимодействию атомов гелия в основном состоянии с молекулами Li_2 в основном $X^1\Sigma_g^+$ и возбужденном $A^1\Sigma_u^+$ состояниях. Использован достаточно широкий базисный набор, позволяющий правильно описать как область отталкивания на коротких расстояниях, так и область дальнодействующего взаимодействия. Найдено, что по сравнению с потенциалом $\text{He}/\text{Li}_2(X^1\Sigma_g^+)$ потенциал $\text{He}/\text{Li}_2(A^1\Sigma_u^+)$ характеризуется большей глубиной ямы при меньшем атом-молек. расстоянии и значительно большей анизотропией.

А. В. Немухин

X. 1982, 19, N21

di₂

1982

Mazeppeyop.
Enkrip.

Sturalleeg, William

C. ; Verma, K. K. et al.

Proc. Int. Conf.
Lasers 1981 (Pub. 1982),
205-15.

(See. Litt; III).

OMRUECK 15872.7 1982

Szepitpaly J., Ficenzenbauer P,
et al.,

No, 9

Chem. Phys. Lett., 1982, 93,
N6, 555-559.

M_d, M_d^+ Одесск 14286 1982

М-ионной
металл

М. Н.,
Потенциалы.
Кривые (10)
Х. 1982, 19, N 19.

19 Б20. Потенциальные кривые димеров щелочных металлов и их катионов. Новое спектроскопическое правило и предсказания на его основе. Szentpály László Von. Potential curves for the alkali dimers and their cations: a new spectroscopic rule and its predictions. «Chem. Phys. Lett.», 1982, 88, № 3, 321—324 (англ.)

Отмечено, что форма потенциальных кривых состояний $A'S_u^+$ димеров щел. металлов практически совпадает с формой потенциальных кривых состояний $X^2\Sigma_g^+$ соответствующих однозарядных катионов. Это приводит к близким значениям таких спектроскопич. постоянных как D_e , R_e , ω_e и B_e для этих состояний. Отмечена важность корреляц. эффектов для теор. объяснения такого совпадения. Предлагается использовать замеченную закономерность для предсказания неизвестных спектроскопич. св-в димеров щел. элементов и их однозарядных катионов.

В. Б. Павлов-Верескин

см. на обрывке

Li_2 , Li_2^+ , Na_2 , Na_2^+ , K_2 , K_2^+ ,

Rb_2 , Rb_2^+ , Cs_2 , Cs_2^+

$$\frac{e^2}{V_c}, \frac{1}{r}$$

7/11/82

1982

Rydberg
CO CNOH

' 99: 30076r Rydberg states of dimeric lithium-7 by pulsed optical-optical double resonance spectroscopy. Tipton, Terence Lamar (Pennsylvania State Univ., University Park, PA USA). 1982. 183 pp. (Eng). Avail. Univ. Microfilms Int., Order No. DA8305706. From *Diss. Abstr. Int. B* 1983, 43(10), 3257.

C.A. 1983, 99, N 4

Li_2

1982

Van Hooydonk G.

rometus. Z. Naturforsch., A
9-p-uu 1982, 37A (9), 971-81.

(c.c. H_2 ; II)

lig

Omnuck 14032 | 1982

Varandas A.Y.C., Bran
dao F.,

Mol. Phys., 1982, 45,
N 4, 857-875.



Kb. Mex.
pacem

Li₂ Om. 15080/ 1982

6 Б141. Связанные, индуцированные лазером флуоресцентные серии (СИЛ ФС) в ${}^7\text{Li}_2$. Coupled laser-induced fluorescence series (CLIFS) in ${}^7\text{Li}_2$. Vega K. K., Swalley W. C. «Opt. Commun.», 1982, 43, № 3, 185—188 (англ.).

Исследована относит. интенсивность линий в четырех сериях спектра флуоресценции молекулы ${}^7\text{Li}_2$, возбуждаемой Kr^+ лазером ($\lambda_{\text{возб}}=568,2$ нм). Одновременно возбуждали четыре перехода: серия I — переход $B-X$, $V'=9$, $I'=25 \leftrightarrow V''=16$, $I''=25$; серия II — переход $B-X$, 9,32—16,31; серия III — переход $A-X$, 25,24—5,23; серия IV — переход $A-X$, 28,8—7,7. В пределах одной серии наблюдается хорошее согласие эксперим. и вычисленных относит. интенсивностей линий, однако, при сравнении линий различных серий обнаружены значит. расхождения, проявляющиеся в усилении серии I. Рассмотрены три возможные причи-

м.н.

X. 1983, 19, N6

ны этого усиления, базирующиеся на взаимодействии серий, относящихся к $B-X$ и $A-X$ переходам через уровень $V''=16$, $Y''=25$ основного состояния $X^1\Sigma_g^+$. Этот уровень заселяется гл. обр. в результате флуоресценции из состояния A и одновременно является нижним уровнем для возбуждения серий I и II.

В. М. Ковба

Liz

Om. 15080

1982

98: 9685h Coupled laser-induced fluorescence series (CLIFS) in diatomic lithium-7. Verma, K. K.; Stwalley, W. C. (Iowa Laser Facil., Univ. Iowa, Iowa City, IA 52242 USA). *Opt. Commun.* 1982, 43(3), 185-8 (Eng). The enhancement was demonstrated of a fluorescence series by simultaneous pumping of a 2nd coupled series at the same frequency. By using a Kr⁺ laser (568.2 nm) and $^7\text{Li}_2$ mols. 4 fluorescence series and enhanced emission were obsd. from $B^1\Pi_u(v' = 9, J' = 25)$. This enhancement results from the coupling of an A-X series and a B-X series through the level $S^1\Sigma_g^+(v'' = 16, J'' = 25)$. This level is populated primarily through the A-X fluorescence and at the same time is the lower level for the excitation of the B-X series.

A-X

B-X

laser-ph. sys.
process.

C.A. 1983, 98, N2.

Li₂

Om. 15080

1982

3 Д850. Индуцированные лазером связанные флуоресцентные серии (CLIFS) в молекулах $^7\text{Li}_2$. Coupled laser-induced fluorescence series (CLIFS) in $^7\text{Li}_2$. Vega K. K., Swalley W. C. «Opt. Commun.», 1982, 43, № 3, 185—188 (англ.)

В области 460—900 нм исследованы спектры флуоресценции (ФЛ) молекул $^7\text{Li}_2$ в газовой фазе при возбуждении переходов $X \rightarrow B [v''=16, J''=25 \rightarrow v'=9, J'=25]$ (I); $v''=16, J''=31 \rightarrow v'=9, J'=32$ (II)] и $X \rightarrow A [v''=5, J''=23 \rightarrow v'=25, J'=24]$ (III)] излучением Кг⁺-лазера (568,2 нм). Установлено, что отношение интенсивности ФЛ I/ФЛ II в 1,7 раза превышает теоретич. значение, вычисленное в предположении равновесного заселения уровней нижнего состояния $X^1\Sigma_g^+$. Предположено, что причиной наблюдаемого усиления ФЛ I является дополнительное заселение нижнего уровня перехода I за счет ФЛ III. Отмечена возможность достижения высокого коэф. усиления и получения лазерной генерации при переходах с $\lambda=694,33$ нм ($A^1\Sigma_u^+, v'=25, J'=24 \rightarrow X^1\Sigma_g^+, v''=16, J''=25$) в молекулах $^7\text{Li}_2$ при оптич. наскачке излучением Кг⁺-лазера.

С. Литке

90/1983, 18,
N3

li₂

1982

5 Д380. Триплетная сателлитная полоса в дальней области голубого крыла самоуширенной резонансной линии лития. Triplet satellite band in the very far blue wing of the self-broadened lithium resonance line. Veža D., Milošević S., Pichler G. «Chem. Phys. Lett.», 1982, 93, № 4, 401—405 (англ.)

В диапазоне 570—680 нм исследован спектр поглощения молекулярного лития и в дальней области голубого крыла самоуширенной первой резонансной линии лития. Обнаружено широкое слабое плечо, интерпретированное как сателлитная триплетная полоса $^3\Pi_g - ^3\Sigma_u^+$. При интерпретации использованы результаты ab initio расчетов потенц. кривых состояний $^3\Sigma_u^+$ и $^3\Pi_g$ молекулы лития.

Спектр,
Молекулы
Криогене

93. 1983, 18, N 5

1982

9 Б165. Триплетная сателлитная полоса в очень далекой части голубого крыла самоуширенной резонансной линии лития. Triplet satellite band in the very far blue wing of the self-broadened lithium resonance line. Vezä D., Milošević S., Pichler G. «Chem. Phys. Lett.», 1982, 93, № 4, 401—405 (англ.)

Измерены спектры поглощения нагретых паров лития ($T \sim 1150$ — 1250 K) в области голубого крыла самоуширенной первой резонансной линии лития (670,8 нм). Наблюдаемое одновременно с системой $A^1\Sigma_u^+ - X^1\Sigma_g^+$ Li_2 широкое плечо в области 580—650 нм связано с переходом ${}^3\Pi_g - {}^3\Sigma_u^+ + \text{Li}_2$, существование к-рого ранее предсказывалось на основании теор. расчетов («J. Phys. Chem.», 1982, 86, 1099; «J. Chem. Phys.» 1980, 72, 2612).

Б. М. Кэвба

X. 1983, 19, № 9

1982

hiz

11 Д67. Потенциальные кривые для димеров щелочных металлов и их катионов. Новое спектроскопическое правило и его предсказания. Potential curves for the alkali dimers and their cations: a new spectroscopic rule and its predictions. Von Szentpály László. «Chem. Phys. Lett.» 1982, 88, № 3, 321—324 (англ.)

Для димеров щелочных металлов и их ионов обнаружена эмпирич. закономерность, заключающаяся в том, что основные характеристики возбужденного электронного терма $A^1\Sigma^+$ димера A_2 практически совпадают с характеристиками основного состояния $X^2\Sigma^+$ иона A_2^- . Таковыми являются энергии диссоциации, равновесные расстояния, частоты колебаний и вращательные постоянные. Эта закономерность не следует из простой картины МО и требует для своего объяснения точного учета электронной корреляции. На основе этой закономерности предсказаны некоторые неизвестные спектроскопич. константы состояний $A^1\Sigma^+$ и $X^2\Sigma^+$. А. Воронин

1. Август

III-1

fg

90. 1982, 18, N 11

Na_2 , K_2 , Rb_2 , Cs_2 , Na_2^+ , K_2^+ ,
 Rb_2^+ , Cs_2^+

